

ФИЗИКО-ХИМИЧЕСКИЙ АНАЛИЗ  
НЕОРГАНИЧЕСКИХ СИСТЕМ

УДК 546.161+541.123.2

ФАЗОВАЯ ДИАГРАММА СИСТЕМЫ  $MgF_2-SrF_2$  И ВЗАИМОДЕЙСТВИЕ  
ФТОРИДОВ МАГНИЯ И СТРОНЦИЯ С ФТОРИДАМИ  
ДРУГИХ ЭЛЕМЕНТОВ

© 2023 г. П. П. Федоров<sup>a, \*</sup>, А. А. Пыненков<sup>b</sup>, М. А. Усламина<sup>b</sup>, С. Н. Ушаков<sup>a, b</sup>, В. В. Воронов<sup>a</sup>,  
А. А. Александров<sup>a</sup>, Е. В. Чернова<sup>a</sup>, К. Н. Нищев<sup>b</sup>

<sup>a</sup>Институт общей физики им. А.М. Прохорова РАН, ул. Вавилова, 38, Москва, 119991 Россия

<sup>b</sup>Мордовский государственный университет им. Н.П. Огарева,  
ул. Большевистская, 68, Саранск, 430005 Россия

\*e-mail: ppfedorov@yandex.ru

Поступила в редакцию 30.06.2023 г.

После доработки 22.08.2023 г.

Принята к публикации 27.08.2023 г.

Методами дифференциального термического и рентгенофазового анализа исследована фазовая диаграмма системы  $SrF_2-MgF_2$ . Обнаружено, что область устойчивости соединения  $SrMgF_4$  очень мала и составляет около 20°C между 870 и 890°C. Рассмотрено образование соединений фторида магния и фторида стронция с фторидами других элементов в координатах обобщенный момент катиона  $M$  – его электроотрицательность  $X$ . Выявлены по две области образования соединений. Фториды магния и стронция является амфотерными соединениями с точки зрения теории кислот и оснований Льюиса.

**Ключевые слова:** фторид магния, фторид стронция, фазовая диаграмма, соединение  $SrMgF_4$ , термография, электроотрицательность, обобщенный момент катионов, амфотерность, кислоты и основания Льюиса

DOI: 10.31857/S0044457X23601372, EDN: BWJCNL

ВВЕДЕНИЕ

Фазовые диаграммы являются основой разработки технологических процессов, в том числе получения функциональных материалов. Сообщалось о синтезе соединения  $SrMgF_4$ , изоструктурного  $EuMgF_4$  и  $SmMgF_4$  [1, 2]. Выращены кристаллы  $SrMgF_4$  и расшифрована их кристаллическая структура (пр. гр.  $P112_1$ ) [3, 4]. При 478 К в кристалле  $SrMgF_4$  зафиксирован фазовый переход второго рода, который сопровождается изменением симметрии [5]. Согласно [1, 2], синтез этого соединения сильно затруднен, поскольку оно устойчиво только в узком температурном интервале около температуры плавления. В работе [2] методом дифференциального термического анализа по кривым охлаждения построена фазовая диаграмма системы  $SrF_2-MgF_2$ . Указана температура перитектического плавления  $SrMgF_4$  – 880°C. Термический эффект при 809°C интерпретирован как полиморфное превращение этого соединения. Заметим, что рисунок диаграммы в [2] выполнен с ошибками, а именно, сдвинута ось ординат, на что указывает сравнение с приведенной там таблицей.

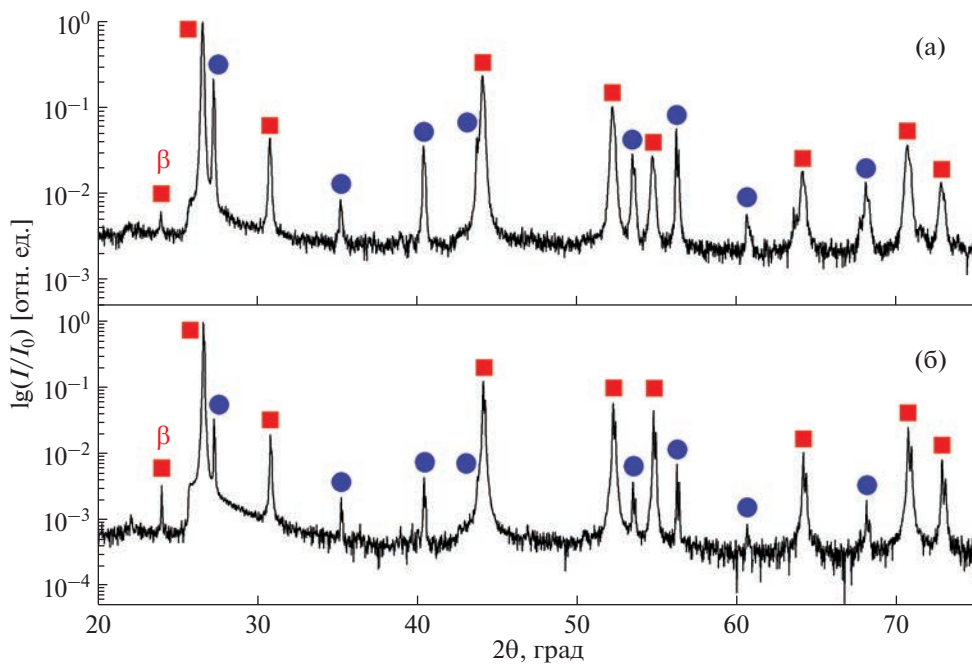
В работе [6] сообщается о синтезе в системе  $SrF_2-MgF_2$  в твердом состоянии в интервале температур 600–900°C помимо  $SrMgF_4$  еще двух соединений состава  $Mg_3Sr_2F_{10}$  и  $Mg_2SrF_6$ .

Цель настоящей работы – проверка фазовой диаграммы системы  $SrF_2-MgF_2$  и общий анализ взаимодействия фторидов магния и стронция с другими фторидами.

ЭКСПЕРИМЕНТАЛЬНАЯ ЧАСТЬ

В качестве исходных веществ были выбраны монокристалл фторида магния оптического качества, выращенный из расплава во фторирующей атмосфере, и фторид стронция марки “ос. ч.”, переплавленный во фторирующей атмосфере (прозрачные гранулы). Навески измельчали, перемешивали и перетирали со спиртом в яшмовой ступке.

Дифференциальную сканирующую калориметрию проводили на термоанализаторе Netzsch DSC 404 F1 Pegasus. Измерения проводили в платиновых тиглях в проточной атмосфере аргона (20 мл/мин), скорость нагрева составляла 10 град/мин, охлаждения – 30 град/мин. Анализу подвергали тщатель-



**Рис. 1.** Рентгеновские дифрактограммы образцов в системе  $\text{MgF}_2\text{--SrF}_2$ : а – сплавление компонентов в соотношении 1 : 1, б – отжиг при  $800^\circ\text{C}$  и закалка состава 80 мол. %  $\text{SrF}_2$  – 20 мол. %  $\text{MgF}_2$ . Квадраты – линии  $\text{SrF}_2$ , кружки – линии  $\text{MgF}_2$ .

но перетертые смеси компонентов, масса навески ~30 мг.

Температуры нонвариантных превращений фиксировали по началу эффектов на кривых нагревания. Температуры ликвидуса в области первичной кристаллизации фторида стронция определяли по началу эффектов на кривых охлаждения. Температуры ликвидуса в области первичной кристаллизации фторида магния, которая происходит с сильным переохлаждением, определяли по кривым нагревания путем вычитания из температуры максимума эффекта соответствующей поправки [7].

Для исследования фазовых равновесий в твердом состоянии был предпринят отжиг при  $800^\circ\text{C}$  на протяжении 14 сут тщательно перетертых смесей компонентов, содержащих 20–75 мол. %  $\text{MgF}_2$ . Навески запаковывали в никелевые капилляры, помещенные вместе с тефлоновой стружкой в медную трубку, герметично заваренную аргонно-дуговой сваркой. После отжига контейнер закаливали сбрасыванием в воду [8].

Рентгенофазовый анализ проводили на дифрактометре Bruker D8 Advance ( $\text{Cu}K_\alpha$ -излучение). Обработку данных проводили с помощью программного обеспечения TOPAS.

## РЕЗУЛЬТАТЫ И ОБСУЖДЕНИЕ

Рентгенофазовый анализ как сплавленных компонентов, так и спеченных при  $800^\circ\text{C}$  и зака-

ленных образцов указывает только на смесь  $\text{SrF}_2$  (структурный тип флюорита, кубическая сингония, пр. гр.  $Fm\bar{3}m$ , JCPDS card # 06-0262) и  $\text{MgF}_2$  (структурный тип рутила, тетрагональная сингония, пр. гр.  $P4_2/mnm$ , JCPDS card # 06-0290) (рис. 1).

Однако термограммы указывают на более сложный характер фазовых равновесий в этой системе (рис. 2). Наряду с сильным термическим эффектом нонвариантного превращения при  $\sim 890^\circ\text{C}$  и термическим эффектом ликвидуса наблюдаются слабые эффекты при  $870^\circ\text{C}$ .

Кристаллизация фторида стронция из бинарного расплава не переохлаждается, поэтому температуры ликвидуса фиксировали по началу эффектов на кривых охлаждения. Напротив, кристаллизация фторида магния протекает с заметным гистерезисом [8], поэтому кривую ликвидуса  $\text{MgF}_2$  фиксировали по кривым нагревания с учетом температурной поправки ( $13\text{--}15^\circ\text{C}$ ), определенной по эффектам нонвариантных превращений [7].

Тщательное исследование процессов кристаллизации расплавов фторидов показало, что кристаллизация дифторидов, имеющих структуру флюорита, протекает без переохлаждения даже при скоростях охлаждения до 200 град/мин [9].

Построенная фазовая диаграмма системы  $\text{SrF}_2\text{--MgF}_2$  представлена на рис. 3. Интервал термодинамической устойчивости соединения  $\text{SrMgF}_4$  очень мал: нижняя граница устойчивости, соответствующая твердофазной реакции

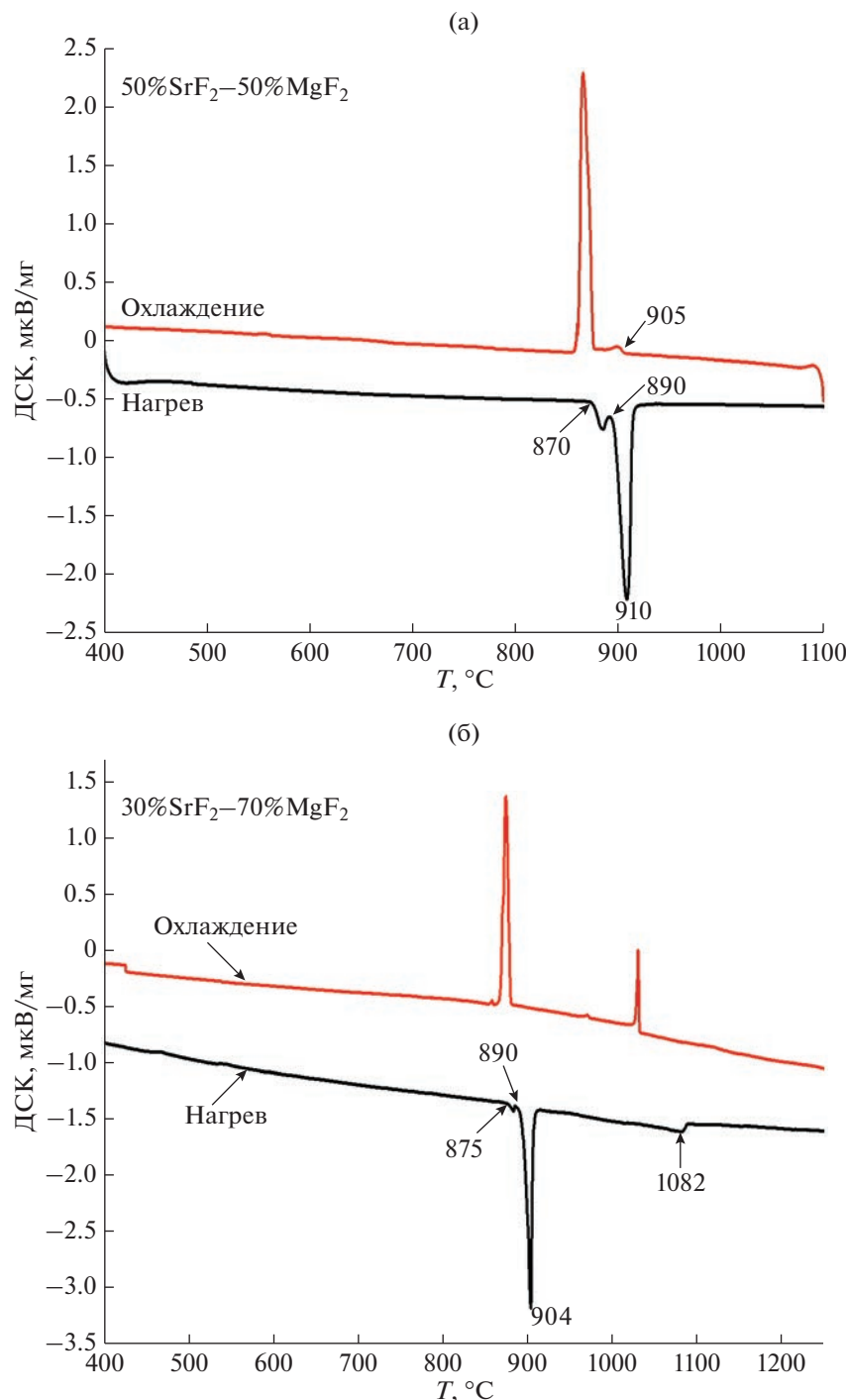


Рис. 2. Термограммы образцов в системе  $MgF_2-SrF_2$ : а – состав (мол. %) 50%  $SrF_2$ –50%  $MgF_2$ , б – состав 30%  $SrF_2$ –70%  $MgF_2$ .



составляет 870°C, верхняя граница (перитектическое плавление) – 890°C. Температура эвтектики близка к температуре перитектики, состав  $51 \pm 0.5$  мол. %  $MgF_2$ .

Полученные нами результаты согласуются с сообщением [1] о синтезе  $SrMgF_4$  при 875°C на протяжении 15 ч и противоречат предложенной в работе [2] схеме фазовых равновесий, в которых нижняя граница устойчивости соединения при-

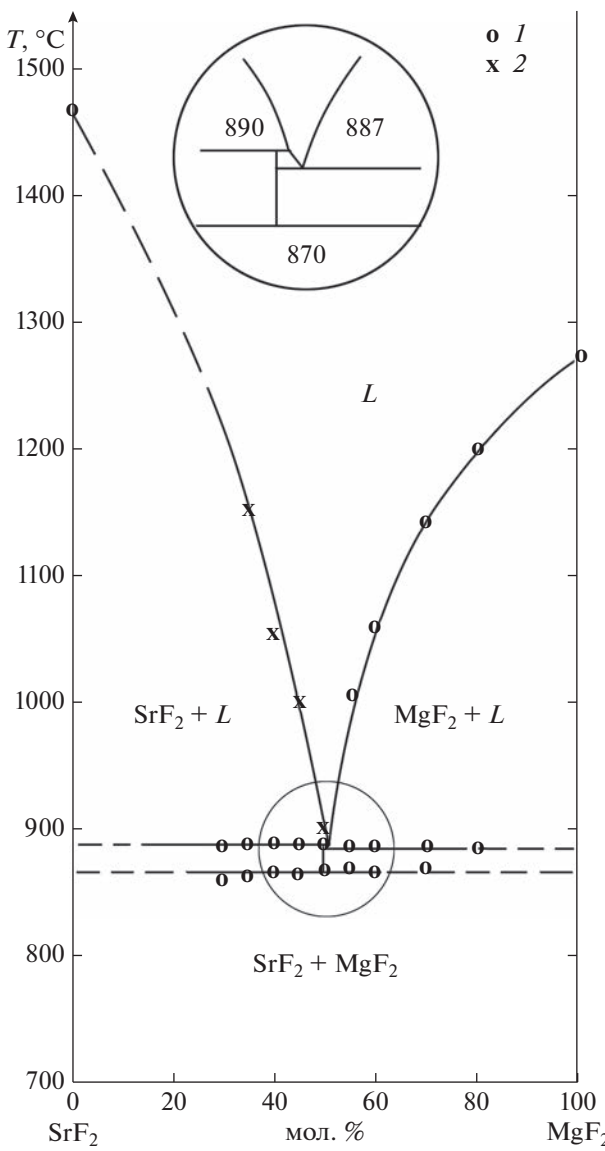


Рис. 3. Фазовая диаграмма системы  $\text{MgF}_2-\text{SrF}_2$ : 1 — температуры получены по кривым нагревания, 2 — начало эффектов по кривым охлаждения.

нята за фазовый переход. Сообщение [6] не подтверждено.

Аналогичная картина фазовых равновесий имеет место в системе  $\text{SrF}_2-\text{CoF}_2$  [10]. Соединение  $\text{SrCoF}_4$  устойчиво в интервале температур 750–784  $^\circ\text{C}$ . Фторид кобальта изоструктурен фториду магния, и соединение  $\text{SrCoF}_4$ , по-видимому, изоструктурно  $\text{SrMgF}_4$  и  $\text{SrNiF}_4$  [11].

Согласно литературным данным, выращенные из расплава кристаллы  $\text{SrMgF}_4$  легко переохлаждаются и являются технологически устойчивыми. Такое же поведение характерно и для соединений  $\text{KCaF}_3$  [12] и  $\text{LiGdF}_4$  [13]. На основе  $\text{SrMgF}_4$  воз-

можно создание функциональных материалов, например люминофора  $(\text{Sr}_{1-x}\text{Eu}_x)\text{MgF}_4$  [1].

Заметим, что найденная авторами [5] температура фазового перехода второго рода для  $\text{SrMgF}_4$  находится ниже области термодинамической устойчивости этого соединения. В статье [4] при указании температуры точки Кюри (1450 К) присутствует очевидная опечатка.

Построенная фазовая диаграмма системы  $\text{SrF}_2-\text{MgF}_2$  весьма неблагоприятна для выращивания монокристаллов промежуточного соединения, имеющего очень узкую область термодинамической устойчивости. Тем не менее успешные результаты таких экспериментов неоднократно описаны в литературе [5, 14, 15]. Для выяснения этого противоречия мы оценили термодинамику расплава в данной системе.

Поскольку области твердых растворов на основе компонентов малы (на что указывает совпадение со справочными данными параметров решетки фаз  $\text{SrF}_2$  и  $\text{MgF}_2$  из смесей, приготовленных как твердофазным отжигом, так и сплавлением компонентов, рис. 1), можно воспользоваться уравнением Шредера [16]:

$$\ln a = \ln \gamma x = \Delta H / R (1/T - 1/T_0), \quad (2)$$

где  $a$  — активность компонента,  $x$  — его концентрация,  $\gamma$  — коэффициент активности,  $\Delta H$  — энталпия плавления компонента,  $T_0$  — температура плавления компонента (К),  $T$  — температура ликвидуса для сплава соответствующей концентрации (К),  $R$  — универсальная газовая постоянная.

Нами проведен расчет коэффициентов активности компонентов с использованием экспериментально полученных температур ликвидуса и принятых для фторида стронция и фторида магния значений  $\Delta H = 29.7 \pm 0.7$  кДж/моль [17],  $T_0 = 1735 \pm 10$  К [9] и  $\Delta H = 58.2 \pm 1$  кДж/моль [18],  $T_0 = 1533 \pm 5$  К [8], соответственно. Результаты расчетов приведены на рис. 4. Видно, что в системе имеются сильные отклонения от идеальности в средней области составов (30–70 мол. %  $\text{MgF}_2$ ).

Это можно объяснить формированием в расплаве смеси фторидов магния и стронция ассоциатов, строение которых соответствует решетке  $\text{SrMgF}_4$ , что и облегчает выращивание этих кристаллов.

#### ДИАГРАММЫ ОБОБЩЕННЫЙ МОМЕНТ КАТИОНА-ЭЛЕКРООТРИЦАТЕЛЬНОСТЬ

Поскольку, согласно построенной фазовой диаграмме, соединение  $\text{SrMgF}_4$  находится на самой границе термодинамической устойчивости, целесообразным представляется проанализировать образование соединений в группах систем из бинарных фторидов  $\text{MgF}_2-\text{MF}_n$  и  $\text{SrF}_2-\text{MF}_n$ .

В работе [19] предложена диаграмма обобщенный момент  $M = Z/r$  (отношение заряда катиона  $Z$  к ионному радиусу  $r$ ) — электроотрицательность  $X$ , на которой выделены области образования соединений в бинарных системах с одним постоянным анионом типа  $AlCl_3-MCl_n$ . Методика опровергнута для ряда хлоридов [19–21] и фторидов свинца [22], индия [23], галлия [24], кадмия [25], иттрия и лантана [26]. Методика позволяет систематизировать имеющиеся данные и прогнозировать фазообразование в еще не изученных системах. Эта же диаграмма использована для оценки стеклообразования во фторидных системах [27].

Такая диаграмма была построена и для группы систем с участием фторида магния [28], однако она требует уточнения с учетом новых экспериментальных результатов.

Диаграмма  $M-X$  для групп систем  $MgF_2-MF_n$  (рис. 5) и  $SrF_2-MF_n$  (рис. 6) строилась так же, как в работах [25, 26]. Использованы ионные радиусы по системе Шеннаона для КЧ = 8 [29], величины электроотрицательности взяты по системе Бацанова [30] с дополнениями.

Данные об образовании соединений и фазовых диаграммах взяты из обзоров, справочников [31–38] и текущей литературы. Нами с нашим участием изучены фазовые диаграммы систем фторида магния с фторидами лития [39], кальция [28], кадмия [25, 40], свинца [22, 41], никеля [42], марганца [43], редкоземельных элементов (РЗЭ,  $R = La-Lu, Y$ ) [13], а также фазовые диаграммы систем фторида стронция с фторидами натрия [44], свинца [22, 45], никеля [42], марганца [43, 46], РЗЭ ( $La-Lu, Y$ ) [47, 48]. Выращивание моноокристаллов подтверждает образование непрерывных твердых растворов в системах  $SrF_2-CaF_2$  и  $BaF_2-SrF_2$  [9, 49].

В системах с участием фторида магния  $MgF_2-MF_n$  на диаграмме  $M-X$  выделяются две области образования соединений. В системах  $MgF_2-MF$  с фторидами одновалентных металлов образуются соединения  $NaMgF_3$  (минерал нейборит, JCPDS card # 81-0952), перовскиты  $MMgF_3$ , где  $M = K, Rb, Cs, Ag$  [31, 36, 50],  $Tl$  [51], соединения  $M_2MgF_4$  типа  $K_2NiF_4$ , где  $M = K, Rb, Cs$  [35, 36, 52],  $Cs_4Mg_3F_{10}$  [31, 36]. В системе  $MgF_2-LiF$  образуется протяженный твердый раствор на основе фторида лития, при охлаждении которого формируется метастабильная фаза  $6LiF \cdot MgF_2$  [39].

В системах  $MgF_2-MF_2$  образуются соединения  $MgEuF_4$  и  $MgSmF_4$ , изоструктурные  $MgSrF_4$  [1]. В твердом состоянии зафиксировано образование соединения  $Pb_2MgF_6$  [22, 41]. В системе  $BaF_2-MgF_2$  рентгенографически зафиксировано образование серии соединений:  $Ba_2MgF_6$ ,  $BaMgF_4$ ,  $Ba_6Mg_7F_{26}$ ,  $Ba_2Mg_3F_{10}$  и  $Ba_6Mg_{11}F_{34}$  [53], которые, однако, не находят отражения на имеющихся вариантах фа-

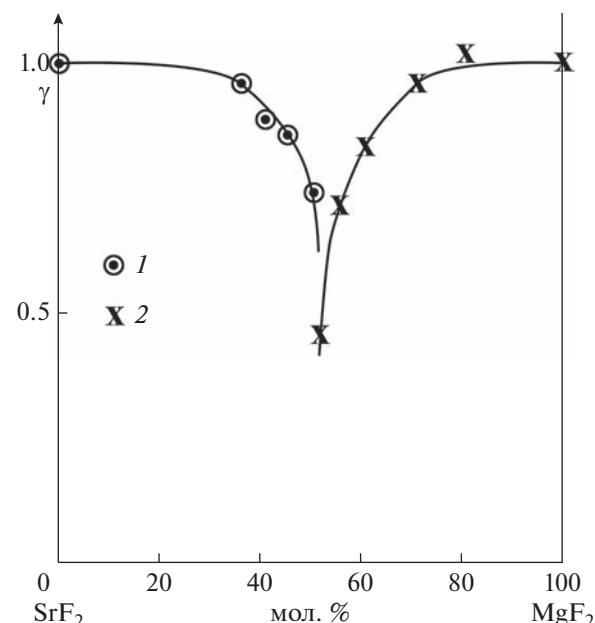
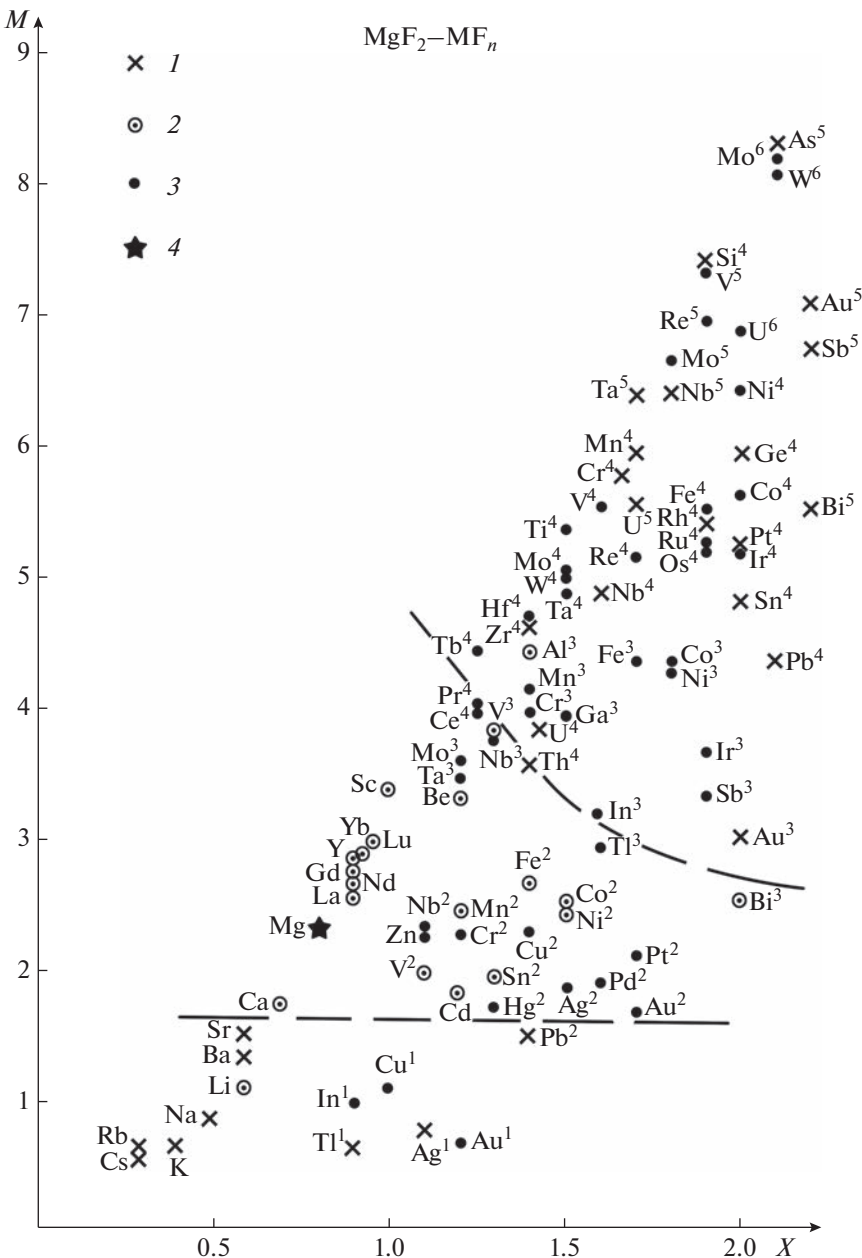


Рис. 4. Рассчитанные коэффициенты активности компонентов в расплаве системы  $MgF_2-SrF_2$ : 1 — коэффициент активности  $SrF_2$ , 2 — коэффициент активности  $MgF_2$ .

зовой диаграммы, за исключением соединения  $BaMgF_4$  [54]. Эвтектики фиксируются в системах  $MgF_2-BeF_2$  [31],  $MgF_2-CaF_2$  [28] и  $MgF_2-CdF_2$  [25, 40]. Попытки получить соединение с  $SnF_2$  потерпели неудачу [55]. Фторид магния образует непрерывные твердые растворы с изоструктурными дифторидами кобальта [10], никеля [42], марганца [43] и железа [56]. Об этом же свидетельствует и синтез “соединений”  $MgM_2F_6$ ,  $MMg_2F_6$ , где  $M = Fe, Mn$ , со структурой рутила без признаков упорядочения [57]. Такой же смысл имеет сообщение о “соединении”  $MgVF_4$  тетрагональной сингонии (JCPDS card # 34-0224).

В системах  $MgF_2-MF_3$  с трифторидами редкоземельных элементов ( $R = La-Lu, Y$ ) зафиксировано наличие эвтектических равновесий без образования промежуточных фаз [7]. Такая же картина наблюдалась и в системе  $MgF_2-ScF_3$  [58], несмотря на выраженный пирогидролиз образцов. Никакого взаимодействия не обнаружено при термообработке смесей  $MgF_2-VF_3$  [59] и  $MgF_2-BiF_3$  [28]. Синтезированы соединения  $Mg(BF_4)_2$  [60, 99] и  $Mg(AuF_4)_2$  (моноclinная сингония, пр. гр.  $P2_1/c$  [61]). Система  $MgF_2-AlF_3$ , по данным [62], эвтектического типа. Существование в этой системе серии дискретных упорядоченных фаз со структурами, производными от рутила ( $Mg_{99}AlF_{201}$ ,  $Mg_{97}Al_3F_{207}$ ), упомянутых в [63], нуждается в подтверждении. Соединение  $MgAlF_5$  синтезировано



**Рис. 5.** Диаграмма обобщенный момент  $M$  – электроотрицательность  $X$  для группы систем  $\text{MgF}_2\text{--MF}_n$ : 1 – соединение образуется, 2 – соединение не образуется, 3 – система не изучена, 4 – базовый катион.

путем обезвоживания кристаллогидрата [64] и, по-видимому, является метастабильным.

В системах  $\text{MgF}_2\text{--MF}_4$  синтезировано большое количество соединений  $\text{MgRF}_6$ , где  $R = \text{Ti}, \text{Ge}, \text{Mn}, \text{Cr}, \text{Rh}, \text{Pd}, \text{Pt}, \text{Sn}, \text{Zr}, \text{Pb}$  [35, 65, 66],  $\text{Nb}$  [67]. При исследовании диаграммы плавкости с  $\text{ThF}_4$  отмечено образование соединения  $\text{MgTh}_2\text{F}_{10}$  [31].

В системах  $\text{MgF}_2\text{--MF}_5$  синтезированы соединения  $\text{Mg}(\text{RF}_6)_2$ , где  $R = \text{Au}, \text{As}, \text{Sb}, \text{Bi}, \text{U}$  [38, 68–71], и  $\text{MgRF}_7$ , где  $R = \text{U}, \text{Nb}, \text{Ta}$  [70, 72, 73].

Так, фторид магния является амфотерным соединением с точки зрения теории кислот и оснований Льюиса. Можно выделить фтормагнеаты щелочных металлов, бария, свинца, с одной стороны, и фторцирконат магния, фтораурат(III) магния, фтораурат(V) магния и т.д. – с другой.

Фазовая диаграмма системы  $\text{MgF}_2\text{--BaF}_2$  не изучена должным образом. Перспективно исследование взаимодействия фторида магния с фторидами ряда трехвалентных металлов, в частности  $\text{SbF}_3$ .

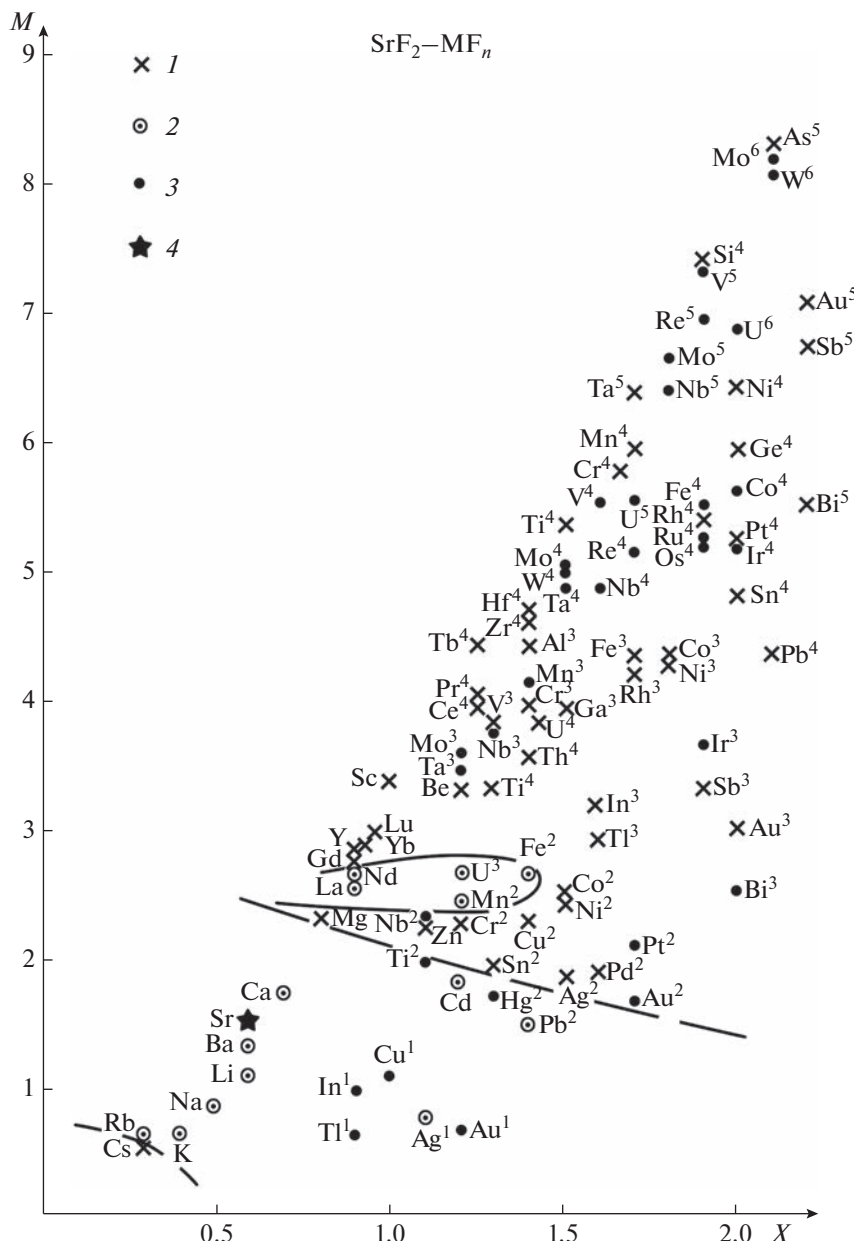


Рис. 6. Диаграмма обобщенный момент  $M$ –электроотрицательность  $X$  для группы систем  $SrF_2-MF_n$ . Обозначения см. в подписи к рис. 5.

Как показывают данные по системам  $SrF_2-MF_n$ , фторид стронция также является амфотерным, однако нижняя область комплексообразования на диаграмме  $M-X$  вырождена (рис. 6). Системы  $SrF_2-MF$  с фторидами щелочных металлов ( $M = Li-Rb$ ) эвтектического типа [31, 44, 74–76], за исключением системы  $SrF_2-CsF$ , в которой образуется соединение  $CsSrF_3$  [31]. Не зафиксировано образование соединения и в системе  $SrF_2-AgF$  [77].

В системах  $SrF_2-MF_2$  с дифторидами, кристаллизующимися в структурном типе флюорита (фториды кальция, бария, кадмия, свинца), фто-

рид стронция образует непрерывные твердые растворы [22, 25, 45, 78, 79]. Зафиксировано образование соединений  $MSrF_4$ , где  $M = Be$  [97, 98],  $Mg$ ,  $Co$  [10],  $Ni$  [11, 42],  $Pd$  (тип  $KBrF_4$ ) [35, 80],  $Zn$  [10],  $Cu$  [81],  $Cr$  [82],  $Sn$  [83],  $Ag$  [35], а также  $Sr_2CuF_6$  [81]. Отсутствие взаимодействия в системе  $SrF_2-FeF_2$  при  $700^{\circ}C$  [84] не исключает возможности образования соединения при другой температуре, как показывают примеры фазовых диаграмм систем  $SrF_2$  с фторидами магния, кобальта и никеля. В работе [43] выявлено образование соединения  $SrMnF_4$  в узком температурном интервале. Как показало изучение

тройной системы  $\text{CaF}_2\text{--SrF}_2\text{--MnF}_2$  [46], эта фаза представляет собой не соединение, а бертоллид, кусочек твердого раствора флюоритовой структуры [85].

В системах  $\text{SrF}_2\text{--MF}_3$  с трифторидами редкоземельных элементов образуются широкие области твердых растворов на основе фторида стронция, а также фторидов РЗЭ тисонитовой структуры ( $R = \text{La--Gd}$ ) [47, 48, 86, 87]. Высокотемпературные промежуточные фазы переменного состава со структурой тисонита бертоллидного типа образуются также в системах с  $R = \text{Tb--Lu, Y}$ , однако они распадаются по эвтектоидной схеме без признаков упорядочения [85]. Упорядоченные флюоритоподобные фазы, которые можно рассматривать как химические соединения, образуются в системах с катионами меньшего ионного радиуса ( $R = \text{Gd--Lu, Y}$ ) [47, 86, 87]. Соединения  $\text{Sr}_2\text{RF}_7$  образуются с трифторидами  $\text{Sc}$  [88],  $\text{In}$  [31, 89],  $\text{Tl}$  [90],  $\text{Rh}$  [31],  $\text{Al}$  [91, 92]. В системе  $\text{SrF}_2\text{--TlF}_3$  образуются также фазы  $\text{Sr}_3\text{Tl}_2\text{F}_{12}$  и  $\text{SrTl}_2\text{F}_8$  [90], а в системе  $\text{SrF}_2\text{--AlF}_3$  – диморфное соединение  $\text{SrAlF}_5$  [91, 92]. Описано соединение  $\text{SrGaF}_5$  [92]. В ряде систем с трифторидами переходных металлов ( $R = \text{Co}$  [93],  $\text{Ti}$  [94],  $\text{V}$  [95],  $\text{Fe}$  [96],  $\text{Cr}$  [82]) образуются соединения близких составов и структуры:  $\text{SrRF}_5$ ,  $\text{Sr}_5\text{R}_3\text{F}_{19}$ ,  $\text{Sr}_3\text{R}_2\text{F}_{12}$  [35–37, 92]. Описаны также соединения  $\text{Sr}(\text{BF}_4)_2$  [60, 99],  $\text{SrSbF}_5$  [100],  $\text{SrNiF}_5$  [101],  $\text{SrAuF}_5$  [102].

В системах  $\text{SrF}_2\text{--MF}_4$  синтезировано большое количество соединений  $\text{SrRF}_6$ , где  $R = \text{Si, Ge, Mn, Cr, Rh, Pd, Pt, Sn, Hf, Zr, Pb, Ce, Np, Pu, U, Th}$  [65, 66, 103],  $\text{Ti}$  [104],  $\text{Tb, Pr}$  [103, 105],  $\text{Ni}$  [102]. Несмотря на то что  $\text{SrRF}_6$  ( $R = \text{Ce, Th, U, Np, Pu}$ ) являются разупорядоченными фазами, кристаллизующимися в структуре  $\text{LaF}_3$  (тисонита) [106, 107], нет сомнений, что при понижении температуры произойдет упорядочение с дифференциацией катионов по кристаллографическим позициям. Исследование диаграммы плавкости расширяет список соединений. В системе  $\text{SrF}_2\text{--ZrF}_4$  дополнительно образуются соединения  $\text{Sr}_3\text{ZrF}_{10}$ ,  $\text{Sr}_2\text{ZrF}_8$ ,  $\text{Sr}_5\text{Zr}_3\text{F}_{22}$  [103, 108, 109]. Описано соединение  $\text{Sr}_2\text{TbF}_8$  [103]. Нет сообщений о синтезе  $\text{SrNbF}_6$ , хотя ряд  $\text{MNbF}_6$  изучен достаточно полно ( $M = \text{Mg, Ca, Mn, Fe, Co, Ni, Zn, Cd}$ ) [110].

В системах  $\text{SrF}_2\text{--MF}_5$  синтезированы соединения  $\text{Sr}(\text{RF}_6)_2$ , где  $R = \text{Au, As, Sb, Bi}$  [38, 70, 69, 111], и  $\text{SrRF}_7$ , где  $R = \text{As, Au, Ta}$  [38, 87, 112].

Фторстронциат цезия  $\text{CsSrF}_3$  – единственное соединение, при образовании которого фторид стронция выступает в качестве кислоты Льюиса. Во всех остальных многочисленных соединениях, образующихся в системах  $\text{SrF}_2\text{--MF}_n$ , фторид стронция играет роль основания. Можно сделать вывод, что в многокомпонентных фторидных

стеклах стронций строго играет роль модификатора [113, 114].

## ЗАКЛЮЧЕНИЕ

Характер фазовых равновесий в системе  $\text{MgF}_2\text{--SrF}_2$  мало подходит для выращивания кристаллов  $\text{SrMgF}_4$ . Получение их – результат высокого искусства экспериментаторов. Технологическая устойчивость  $\text{SrMgF}_4$  резко превышает термодинамическую устойчивость.

Диаграммы обобщенный момент–электроотрицательность катиона позволяют успешно анализировать образование соединений в группах бинарных систем типа  $\text{MgF}_2\text{--MF}_n$  и  $\text{SrF}_2\text{--MF}_n$ .

## ФИНАНСИРОВАНИЕ РАБОТЫ

Работа выполнена в рамках стратегического проекта “Материалы нового поколения и энергосбережение”, реализуемого в ФГБОУ ВО “МГУ им. Н.П. Огарева” в соответствии с программой “Приоритет 2030” и в соответствии с планом научных работ ИОФ РАН (тема “Квант”). Исследования проведены с использованием оборудования ЦКП ИОФ РАН и ЦКП “Материаловедение” ФГБОУ ВО “МГУ им. Н.П. Огарева”.

## КОНФЛИКТ ИНТЕРЕСОВ

Авторы заявляют об отсутствии конфликта интересов.

## СПИСОК ЛИТЕРАТУРЫ

1. Banks E., Nakajima S., Shone M. // J. Electrochem. Soc. 1980. V. 127. P. 2234.
2. Bingyi Q., Banks E. // Mater. Res. Bull. 1982. V. 17. P. 1185.
3. Ishizawa N., Suda K., Etschmann B.E. et al. // Acta Crystallogr., Sect. C. 2001. V. 57. P. 784.
4. Abrahams S.C. // Acta Crystallogr., Sect. B. 2002. V. 58. P. 34.
5. Мельникова С.В., Исаенко Л.И., Голошумова А.А., Лобанов С.И. // Физика твердого тела. 2014. Т. 56. № 4. С. 727.
6. Пивоварова А.П., Салтыкова В.А., Мельникова О.В., Семин Е.Г. // Тез. докл. VII Всесоюз. симпозиума по химии неорганических фторидов. Душанбе. 9–11 октября 1984 г. М.: Наука, 1984. 266 с.
7. Федоров П.П., Медведева Л.В. // Журн. неорган. химии. 1989. Т. 34. № 10. С. 2674.
8. Olkhovaya L.A., Fedorov P.P., Ikrami D.D., Sobolev B.P. // J. Therm. Anal. 1979. V. 15. P. 355.  
<https://doi.org/10.1007/BF01903660>
9. Стасюк В.А. Изучение седловинных точек на поверхностях ликвидуса и солидуса в тройных системах с трифторидами редкоземельных элементов. Дис. ... канд. хим. наук. М.: МИТХТ им. М.В. Ломоносова, 1998. 147 с.

10. Икрами Д.Д., Лугинина А.А., Ольховая Л.А., Ручкин Е.Д. // Журн. неорган. химии. 1987. Т. 32. № 6. С. 1453.
11. Schnering H.G., Bleckmann P. // Naturwissenschaften. 1968. V. 55. № 7. P. 342.
12. Федоров П.П., Лугинина А.А., Табачкова Н.Ю. и др. // Журн. неорган. химии. 2022. Т. 67. № 8. С. 1116. <https://doi.org/10.31857/S0044457X22080104>
13. Fedorov P.P., Alexandrov A.A., Korableva S.L., Chernova E.V. // Cryst. Res. Techn. 2023. V. 58. № 5. P. 2200251. <https://doi.org/10.1002/crat.202200251>
14. Goloshumova A.A., Isaenko L.I., Naumov D.Yu. et al. // J. Nanoelectronics and Optoelectronics. 2014. V. 9. P. 1.
15. Ogorodnikov I.N., Pustovarov V.A., Isaenko L.I., Lobanov S.I. // Opt. Mater. 2021. V. 118. P. 111234. <https://doi.org/10.1016/j.optmat.2021.111234>
16. Пригожин И., Дефэй Р. Химическая термодинамика. Новосибирск: Наука, 1966. 510 с.
17. Ефремова Р.И., Матизен Э.В. // Изв. СО АН СССР. Сер. хим. 1970. № 2. Вып. 1. С. 3.
18. Naylor B.F. // J. Am. Chem. Soc. 1945. V. 67. P. 150.
19. Федоров П.П., Федоров П.И. // Журн. неорган. химии. 1973. Т. 18. № 1. С. 205.
20. Федоров П.И., Федоров П.П. // Журн. неорган. химии. 1974. Т. 19. № 1. С. 215.
21. Федоров П.П., Федоров П.И. // Журн. неорган. химии. 1975. Т. 20. № 4. С. 1088.
22. Бучинская И.И., Федоров П.П. // Успехи химии. 2004. Т. 73. № 4. С. 404. <https://doi.org/10.1070/RC2004v073n04ABEH000811>
23. Davidovich R.V., Fedorov P.P., Popov A.I. // Rev. Inorg. Chem. 2016. V. 36. № 3. P. 105. <https://doi.org/10.1515/revic-2015-0019>
24. Davidovich R.V., Fedorov P.P., Popov A.I. // Rev. Inorg. Chem. 2017. V. 37. № 3–4. P. 147. <https://doi.org/10.1515/revic-2017-0010>
25. Федоров П.П. // Журн. неорган. химии. 2021. Т. 66. № 10. С. 1371. <https://doi.org/10.31857/S0044457X21100044>
26. Fedorov P.P., Chernova E.V. // J. Fluorine Chem. 2022. V. 263. P. 110031. <https://doi.org/10.1016/j.jfluchem.2022.110031>
27. Федоров П.П. // Неорган. материалы. 1997. Т. 33. № 12. С. 1415.
28. Федоров П.П., Ольховая Л.А. // Журн. неорган. химии. 1981. Т. 21. № 1. С. 218.
29. Shannon R.D. // Acta Crystallogr., Sect. A. 1976. V. 32. P. 751.
30. Бацанов С.С. // Журн. неорган. химии. 1973. Т. 18. С. 205.
31. Thoma R.E. // Advances in Molten salt Chemistry / Eds. Braunstein J. et al. N.-Y.: Plenum Press, 1975. V. 3. P. 275.
32. Коршунов Б.Г., Сафонов В.В., Дробот Д.В. Диаграммы плавкости галогенидных систем переходных элементов. М.: Металлургия, 1977.
33. Коршунов Б.Г., Сафонов В.В., Дробот Д.В. Фазовые равновесия в галогенидных системах М.: Металлургия, 1979.
34. Диаграммы плавкости солевых систем. Справочник / Под ред. Посьтайко В.И. М.: Металлургия, 1977. Т. 1, 2.
35. Babel D., Tressaud A. // Inorganic Solid Fluorides. Chemistry and Physics / Ed. Hagenmuller P. Orlando: Academic Press, 1985. P. 77.
36. Massa W., Babel D. // Chem. Rev. 1988. V. 88. P. 275.
37. Leblanc M., Maisonneuve V., Tressaud A. // Chem. Rev. 2015. V. 115. P. 1191.
38. Mazej Z. // J. Fluorine Chem. 2023. V. 265. P. 110073.
39. Федоров П.П., Жмирова З.И., Бондарева О.С. и др. // Журн. неорган. химии. 1994. Т. 39. № 6. С. 1010.
40. Федоров П.П., Саттарова М.А., Спиридовон Ф.М., Соболев Б.П. // Журн. неорган. химии. 1987. Т. 32. № 1. С. 163.
41. Федоров П.П., Бучинская И.И., Бондарева О.С. и др. // Журн. неорган. химии. 1995. Т. 40. № 8. С. 1380.
42. Икрами Д.Д., Петров С.В., Федоров П.П. и др. // Журн. неорган. химии. 1984. Т. 29. № 4. С. 1062.
43. Икрами Д.Д., Федоров П.П., Лугинина А.А., Ольховая Л.А. // Журн. неорган. химии. 1985. Т. 30. № 5. С. 1261.
44. Fedorov P.P., Mayakova M.N., Maslov V.A. et al. // Nanosystems: Physics, Chemistry, Mathematics. 2017. V. 8. № 6. P. 830. <https://doi.org/10.17586/2220-8054-2017-8-6-830-834>
45. Бучинская И.И., Федоров П.П. // Журн. неорган. химии. 1998. Т. 43. № 7. С. 1202.
46. Ольховая Л.А., Карпенко Г.А., Икрами Д.Д., Федоров П.П. // Журн. неорган. химии. 1991. Т. 36. № 11. С. 2919.
47. Sobolev B.P., Seiranian K.B., Garashina L.S., Fedorov P.P. // J. Solid State Chem. 1979. V. 28. № 1. P. 51. [https://doi.org/10.1016/0022-4596\(79\)90057-4](https://doi.org/10.1016/0022-4596(79)90057-4)
48. Fedorov P.P., Alexandrov A.A., Voronov V.V. et al. // J. Am. Ceram. Soc. 2021. V. 104. № 6. P. 2836. <https://doi.org/10.1111/jace.17666>
49. Федоров П.П., Бучинская И.И. // Успехи химии. 2012. Т. 81. № 1. С. 1. <https://doi.org/10.1070/RC2012v081n01ABEH004207>
50. Кувакин М.А., Новикова З.М. // Журн. неорган. химии. 1973. Т. 18. С. 1356.
51. Roy R. // J. Am. Ceram. Soc. 1954. V. 37. № 12. P. 581.
52. Schrama A.H.M. // Physica. 1973. V. 68. P. 279.
53. Kerbe W., Weil M., Kubel F., Hagemann H. // Mater. Res. Bull. 2004. V. 39. P. 343.
54. Recker K., Wallrafen F., Haussühl S. // J. Cryst. Growth. 1974. V. 26. P. 97.
55. Donaldson J.D., Senior B.J. // J. Chem. Soc. 1967. V. A11. P. 1821.
56. Икрами Д.Д., Кузнецова Н.И., Балашова О.И. // Тез. докл. IX Всесоюз. симп. по химии неорганических фторидов. Череповец, 1990. С. 149.
57. Portier J., Tressaud A., Menil F. et al. // J. Solid State Chem. 1969. V. 1. P. 100.
58. Комисарова Л.Н., Покровский Б.И. // Докл. АН СССР. 1963. Т. 149. С. 599.
59. Cretenet J.-C. // Rev. Chim. Miner. 1973. V. 10. P. 399.

60. Островская Т.В., Аминова С.А. // Журн. неорган. химии. 1970. Т. 15. С. 657.
61. Müller B.G. // Z. Anorg. Allg. Chem. 1987. V. 555. P. 57.
62. Костюков А.А., Карпов А.Б. // Тр. Ленинградского политехн. ин-та. 1957. № 188. С. 588.
63. Введенский В.Д., Страшко Н.Б., Тетерин Г.А., Семин Е.Г. // Тез. докл. VII Всесоюз. симп. по химии неорганических фторидов. Душанбе, 1984. С. 81.
64. Weil M., Werner F. // Monatsh. Chem. 2001. P. 769.
65. Bandemehr J., Baumann D., Seibald M. et al. // Eur. J. Inorg. Chem. 2021. P. 3861.  
<https://doi.org/10.1002/ejic.202100576>
66. Reinen D., Steffens F. // Z. Anorg. Allg. Chem. 1978. V. 441. P. 63.
67. Chassaing J., Bizot D., Montail C. // Rev. Chim. Miner. 1983. V. 20. P. 753.
68. Mazej Z. // J. Fluorine Chem. 2004. V. 125. P. 1723.
69. Попов А.И., Вальковский М.Д., Суховерхов В.Ф. // Журн. неорган. химии. 1990. Т. 35. № 11. С. 2831.
70. Samouel M., Salle P., Dixuier J., Plurieu P. // C.R. Acad. Sci. 1972. V. C274. P. 955.
71. Gantar D., Leban I., Frlec B., Holloway J.H. // J. Chem. Soc., Dalton Trans. 1987. P. 2379.
72. Montail C., Chassaing J. // Rev. Chim. Miner. 1979. V. 16. P. 104.
73. Раков Е.Г., Федоров Г.Г., Судариков Б.Н. // Тез. докл. III Всесоюз. симп. по химии неорганических фторидов. Одесса, 1972. С. 98.
74. Мамейко З.А., Бухалова Г.А. // Журн. неорган. химии. 1962. Т. 7. № 1. С. 165.
75. Бережная В.Т., Бухалова Г.А. // Журн. неорган. химии. 1967. Т. 12. С. 2179.
76. Бережная В.Т., Бухалова Г.А. // Журн. неорган. химии. 1960. Т. 5. № 9. С. 2061.
77. Безносиков Б.В. // Кристаллография. 1978. Т. 23. № 1. С. 113.
78. Nafziger R.H. // J. Am. Ceram. Soc. 1971. V. 54. № 9. P. 467.
79. Каримов Д.Н., Бучинская И.И., Сорокин Н.И. // Неорган. материалы. 2019. Т. 55. С. 534.
80. Müller B., Hoppe R. // Mater. Res. Bull. 1972. V. 7. P. 1297.
81. Dumora D., Ravez J., Hagenmuller P. // Bull. Soc. Chim. Fr. 1970. V. 4. P. 1301.
82. Dumora D., Ravez J., Hagenmuller P. // Bull. Soc. Chim. Fr. 1971. V. 6. P. 2010.
83. Denes G., Pannetier J., Lucas J. // C.R. Acad. Sci. 1975. V. C280. № 12. P. 831.
84. Ravez J., De Pape R., Hagenmuller P. // Bull. Soc. Chim. Fr. 1967. № 11. P. 4375.
85. Федоров П.П. // Журн. неорган. химии. 2012. Т. 57. № 7. С. 1033.  
<https://doi.org/10.1134/S003602361207011X>
86. Sobolev B.P., Seiranian K.B. // J. Solid State Chem. 1981. V. 39. P. 17.
87. Sobolev B.P. The Rare Earth Trifluorides. P. 1. The High-temperature Chemistry of the Rare Earth Trifluorides. Institut d'Estudis Catalans, Barcelona, 2000.
88. Ravez J., Hagenmuller P. // Bull. Soc. Chim. Fr. 1971. № 10. P. 3452.
89. Grannec J., Ravez J. // C.R. Acad. Sci. 1970. V. C270. P. 2059.
90. Ravez J., Grannec J., Portier J. // Rev. Chim. Miner. 1971. V. 8. P. 131.
91. Ravez J., Hagenmuller P. // Bull. Soc. Chim. Fr. 1967. № 7. P. 2545.
92. Von der Mühl R., Ravez J. // Rev. Chim. Miner. 1974. V. 11. P. 652.
93. Ravez J., Grannec J., von der Mühl R. // C.R. Acad. Sci. 1971. V. C272. № 11. P. 1042.
94. Ravez J., Vassiliadis M., Hagenmuller P. // C.R. Acad. Sci. 1969. V. C262. P. 1876.
95. Cretenet J.-C. // C.R. Acad. Sci. 1969. V. C268. P. 945.
96. Ravez J., Viollet J., De Pape R., Hagenmuller P. // Bull. Soc. Chim. Fr. 1967. № 4. P. 1325.
97. Бреусов О.Н., Трапп Г., Новоселова А.В., Симанов Ю.П. // Журн. неорган. химии. 1959. Т. 4. № 3. С. 671.
98. Fouassier C., Latourrette B., Portier J., Hagenmuller P. // Mater. Res. Bull. 1976. V. 11. № 8. P. 933.
99. De Pape R., Ravez J. // C.R. Acad. Sci. 1962. V. 254. P. 4171.
100. Gravereau P., Mirambet C., Fournes L. et al. // Acta Crystallogr., Sect. C. 1990. V. 46. № 12. P. 2294.
101. Fleischer T., Hoppe R. // Z. Anorg. Allg. Chem. 1982. V. 490. P. 121.
102. Hoppe R. // Angew. Chem. Int. Ed. Engl. 1981. V. 20. P. 63.
103. Largeau E., El-Ghozi M. // J. Fluorine Chem. 1998. V. 89. P. 223.
104. Ravez J., Vassiliadis M., Muell R., Hagenmuller P. // Rev. Chim. Miner. 1970. V. 7. P. 967.
105. Feldner K., Hoppe R. // Rev. Chim. Miner. 1983. V. 20. № 3. P. 351.
106. Zachariasen W.H. // Acta Crystallogr. 1949. V. 2. P. 388.
107. Keller C., Salzer M. // J. Inorg. Nucl. Chem. 1967. V. 29. P. 2925.
108. Ратникова И.Д., Коренев Ю.М., Новоселова А.В. // Журн. неорган. химии. 1980. V. 25. P. 816.
109. Laval J.P. // J. Solid State Chem. 2022. V. 309. P. 122962.
110. Chassaing J., Montail C., Bizot D. // J. Solid State Chem. 1982. V. 43. № 3. P. 327.
111. Frlec B., Gantar D., Holloway J.H. // J. Fluorine Chem. 1982. V. 19. P. 485.
112. Bunic T., Tramek M., Goreshnik E. et al. // Solid State Sci. 2007. V. 9. P. 88.
113. Федоров П.П. // Кристаллография. 1997. Т. 42. № 6. С. 1141.
114. Федоров П.П. // Неорган. материалы. 1997. Т. 33. № 12. С. 1415.